

Grafika Komputerowa. Rzutowanie

Aleksander Denisiuk

Polsko-Japońska Akademia Technik Komputerowych

Wydział Informatyki w Gdańsku

ul. Brzezi 55

80-045 Gdańsk

denisjuk@pja.edu.pl

Rzutowanie

Case study:
modelowanie cienia

Case study:
przekształcenie rzutowe
obrazów

Najnowsza wersja tego dokumentu dostępna jest pod adresem

<http://users.pja.edu.pl/~denisjuk>

Rzutowanie

Dwa typy rzutowania

Ukryte powierzchnie

Rzutowanie równoległe

Rzutowanie
perspektywiczne

Macierze
w modelowaniu

Case study:
modelowanie cienia

Case study:
przekształcenie rzutowe
obrazów

Rzutowanie

Rzutowanie

Dwa typy rzutowania

Ukryte powierzchnie

Rzutowanie równoległe

Rzutowanie
perspektywiczne

Macierze
w modelowaniu

Case study:
modelowanie cienia

Case study:
przekształcenie rzutowe
obrazów

- Równoległe
- Perspektywiczne

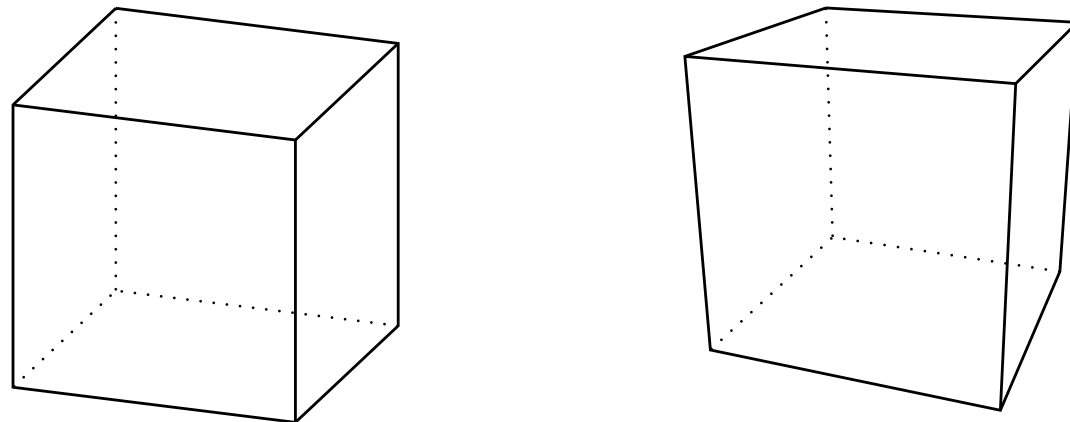


Figure II.18: The cube on the left is rendered with an orthographic projection. The one on the right with a perspective transformation. With the orthographic projection, the rendered size of a face of the cube is independent of its distance from the viewer; compare, for example, the front and back faces. Under a perspective transformation, the closer a face is, the larger it is rendered.

Rzutowanie

Dwa typy rzutowania

Ukryte powierzchnie

Rzutowanie równoległe

Rzutowanie
perspektywiczne

Macierze
w modelowaniu

Case study:
modelowanie cienia

Case study:
przekształcenie rzutowe
obrazów

- Algorytm malarza
- Algorytm buforu głębokości

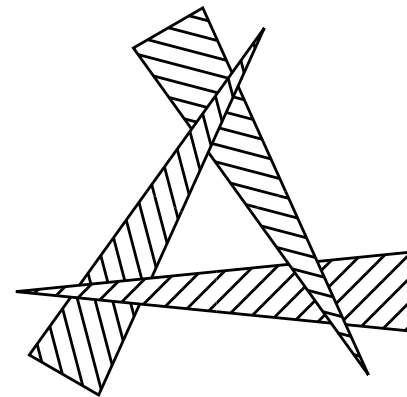


Figure I.12: Three triangles. The triangles are turned obliquely to the viewer so that the top portions of each triangle is in front of the base portion of another.

Rzutowanie równoległe

Rzutowanie

Dwa typy rzutowania

Ukryte powierzchnie

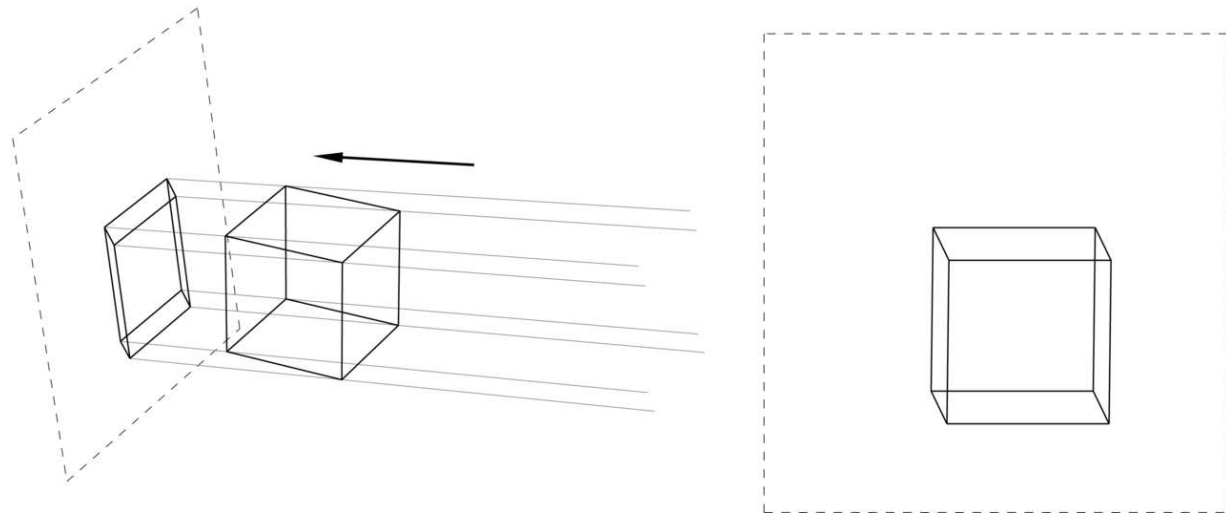
Rzutowanie równoległe

Rzutowanie
perspektywiczne

Macierze
w modelowaniu

Case study:
modelowanie cienia

Case study:
przekształcenie rzutowe
obrazów



Macierz rzutowania równoległego

Rzutowanie

Dwa typy rzutowania

Ukryte powierzchnie

Rzutowanie równoległe

Rzutowanie
perspektywiczne

Macierze
w modelowaniu

Case study:
modelowanie cienia

Case study:
przekształcenie rzutowe
obrazów

$$l \leq x \leq r, \quad \text{left, right}$$

$$b \leq y \leq t, \quad \text{bottom, top}$$

$$n \leq -z \leq f, \quad \text{near, far}$$

$$\begin{pmatrix} \frac{2}{r-l} & 0 & 0 & -\frac{r+l}{r-l} \\ 0 & \frac{2}{t-b} & 0 & -\frac{t+b}{t-b} \\ 0 & 0 & -\frac{2}{f-n} & -\frac{f+n}{f-n} \\ 0 & 0 & 0 & 1 \end{pmatrix}$$

Rzutowanie perspektywiczne

Rzutowanie

Dwa typy rzutowania

Ukryte powierzchnie

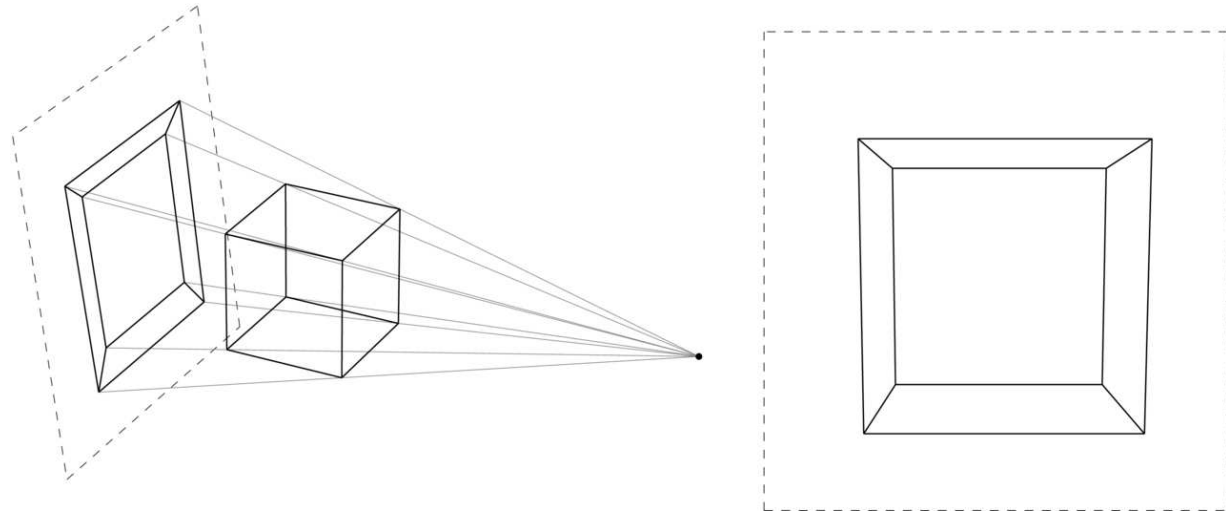
Rzutowanie równoległe

Rzutowanie
perspektywiczne

Macierze
w modelowaniu

Case study:
modelowanie cienia

Case study:
przekształcenie rzutowe
obrazów



Rzutowanie perspektywiczne

Rzutowanie

Dwa typy rzutowania

Ukryte powierzchnie

Rzutowanie równoległe

Rzutowanie
perspektywiczne

Macierze
w modelowaniu

Case study:
modelowanie cienia

Case study:
przekształcenie rzutowe
obrazów

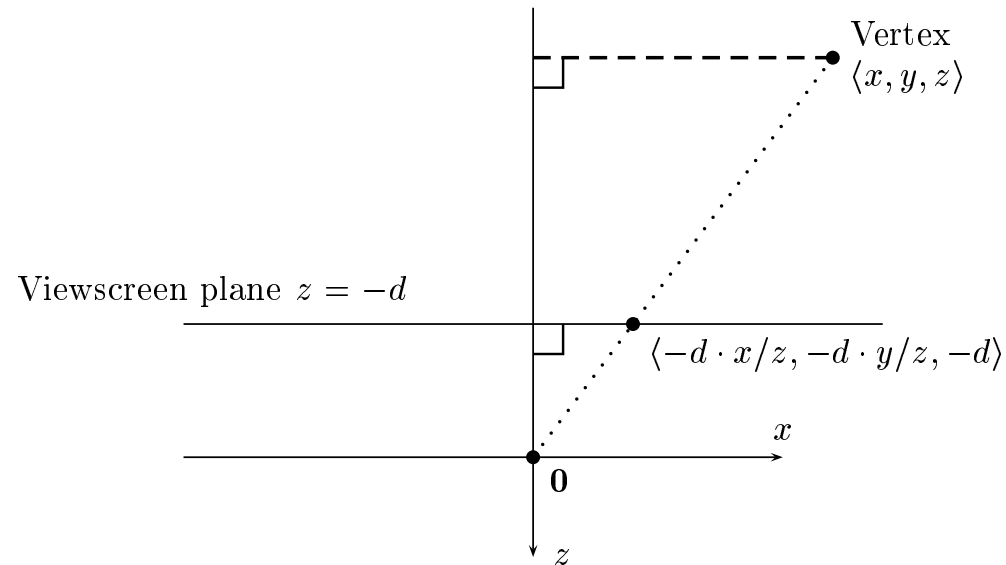


Figure II.19: Perspective projection onto a viewscreen at distance d . The viewer is at the origin, looking in the direction of the negative z axis. The point $\langle x, y, z \rangle$ is perspectively projected onto the plane $z = -d$, which is at distance d in front of the viewer at the origin.

Rzutowanie

Dwa typy rzutowania

Ukryte powierzchnie

Rzutowanie równoległe

Rzutowanie
perspektywiczne

Macierze
w modelowaniu

Case study:
modelowanie cienia

Case study:
przekształcenie rzutowe
obrazów

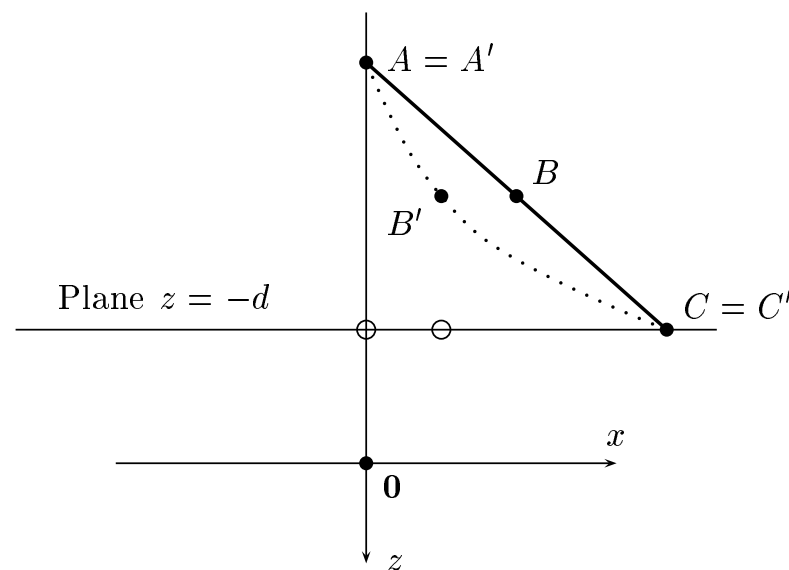


Figure II.20: The undesirable transformation of a line to a curve. The mapping used is $\langle x, y, z \rangle \mapsto \langle -d \cdot x/z, -d \cdot y/z, z \rangle$. The points A and C are fixed by the transformation and B is mapped to B' . The dotted curve is the image of the line segment AC . (The small unlabeled circles show the images of A and B under the mapping of figure II.19.)

■ $\text{głębokość}(z) = A + \frac{B}{z}$

Rzutowanie

Dwa typy rzutowania

Ukryte powierzchnie

Rzutowanie równoległe

Rzutowanie
perspektywiczne

Macierze
w modelowaniu

Case study:
modelowanie cienia

Case study:
przekształcenie rzutowe
obrazów

- $(x, y, z) \mapsto \left(-\frac{dx}{z}, -\frac{dy}{z}, A + \frac{B}{z}\right)$
- we współrzędnych jednorodnych
 $(x : y : z : 1) \mapsto (dx : dy : -Az - B : -z)$
- macierz:

$$\begin{pmatrix} d & 0 & 0 & 0 \\ 0 & d & 0 & 0 \\ 0 & 0 & -A & -B \\ 0 & 0 & -1 & 0 \end{pmatrix}$$

Rzutowanie

Dwa typy rzutowania

Ukryte powierzchnie

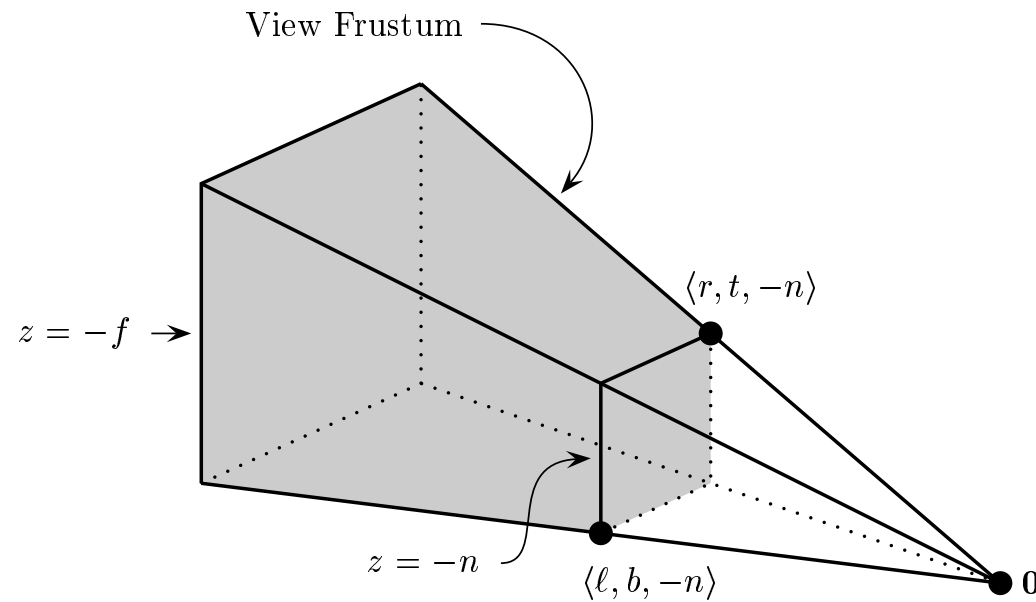
Rzutowanie równoległe

Rzutowanie
perspektywiczne

Macierze
w modelowaniu

Case study:
modelowanie cienia

Case study:
przekształcenie rzutowe
obrazów



■ głębokość(z) = $A + \frac{B}{z}$, gdzie $A = \frac{f+n}{f-n}$, $B = \frac{2fn}{f-n}$.

■ macierz:
$$\begin{pmatrix} \frac{2n}{r-l} & 0 & \frac{r+l}{r-l} & 0 \\ 0 & \frac{2n}{t-b} & \frac{t+b}{t-b} & 0 \\ 0 & 0 & -\frac{f+n}{f-n} & -\frac{2fn}{f-n} \\ 0 & 0 & -1 & 0 \end{pmatrix}$$

Rzutowanie

Dwa typy rzutowania

Ukryte powierzchnie

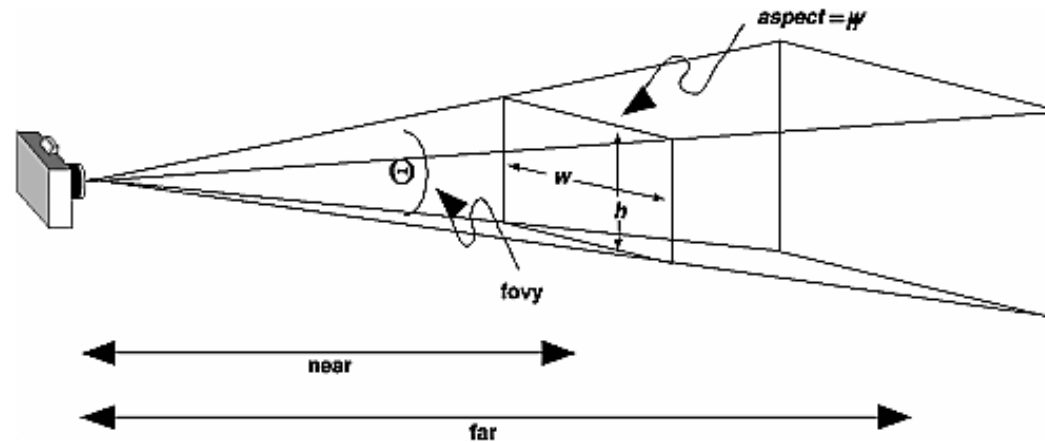
Rzutowanie równoległe

Rzutowanie
perspektywiczne

Macierze
w modelowaniu

Case study:
modelowanie cienia

Case study:
przekształcenie rzutowe
obrazów



- θ — kąt widzenia
- $a = \frac{w}{h}$ — *aspect ratio*, format obrazu
- macierz:

$$\begin{pmatrix} \frac{1}{a} \operatorname{ctg}(\theta/2) & 0 & 0 & 0 \\ 0 & \operatorname{ctg}(\theta/2) & 0 & 0 \\ 0 & 0 & -\frac{f+n}{f-n} & -\frac{2fn}{f-n} \\ 0 & 0 & -1 & 0 \end{pmatrix}$$

Rzutowanie

Dwa typy rzutowania

Ukryte powierzchnie

Rzutowanie równoległe

Rzutowanie
perspektywiczne

Macierze
w modelowaniu

Case study:
modelowanie cienia

Case study:
przekształcenie rzutowe
obrazów

- Macierz `ModelMatrix`
- Macierz `ViewMatrix`
- Macierz `ProjectionMatrix`

Rzutowanie

Case study:
modelowanie cienia

Cień

Z-fighting

Case study:
przekształcenie rzutowe
obrazów

Case study: modelowanie cienia

Rzutowanie

Case study:
modelowanie cienia

Cień

Z-fighting

Case study:
przekształcenie rzutowe
obrazów

$$(x, y, z) \mapsto \left(\frac{x}{1 - y/y_0}, 0, \frac{z}{1 - y/y_0} \right)$$

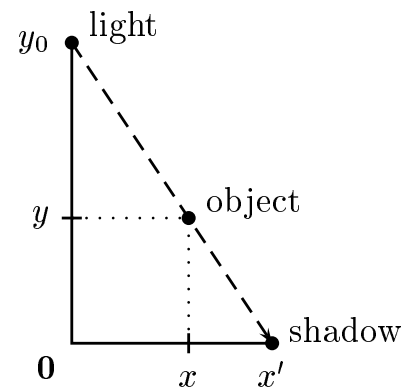


Figure II.22: A light is positioned at $\langle 0, y_0, 0 \rangle$. An object is positioned at $\langle x, y, z \rangle$. The shadow of the point is projected to the point $\langle x', 0, z' \rangle$, where $x' = x/(1 - y/y_0)$ and $z' = z/(1 - y/y_0)$.

Rzutowanie

Case study:
modelowanie cienia

Cień

Z-fighting

Case study:
przekształcenie rzutowe
obrazów

$$\begin{pmatrix} 1 & 0 & 0 & 0 \\ 0 & 0 & 0 & 0 \\ 0 & 0 & 1 & 0 \\ 0 & -\frac{1}{y_0} & 0 & 1 \end{pmatrix}$$

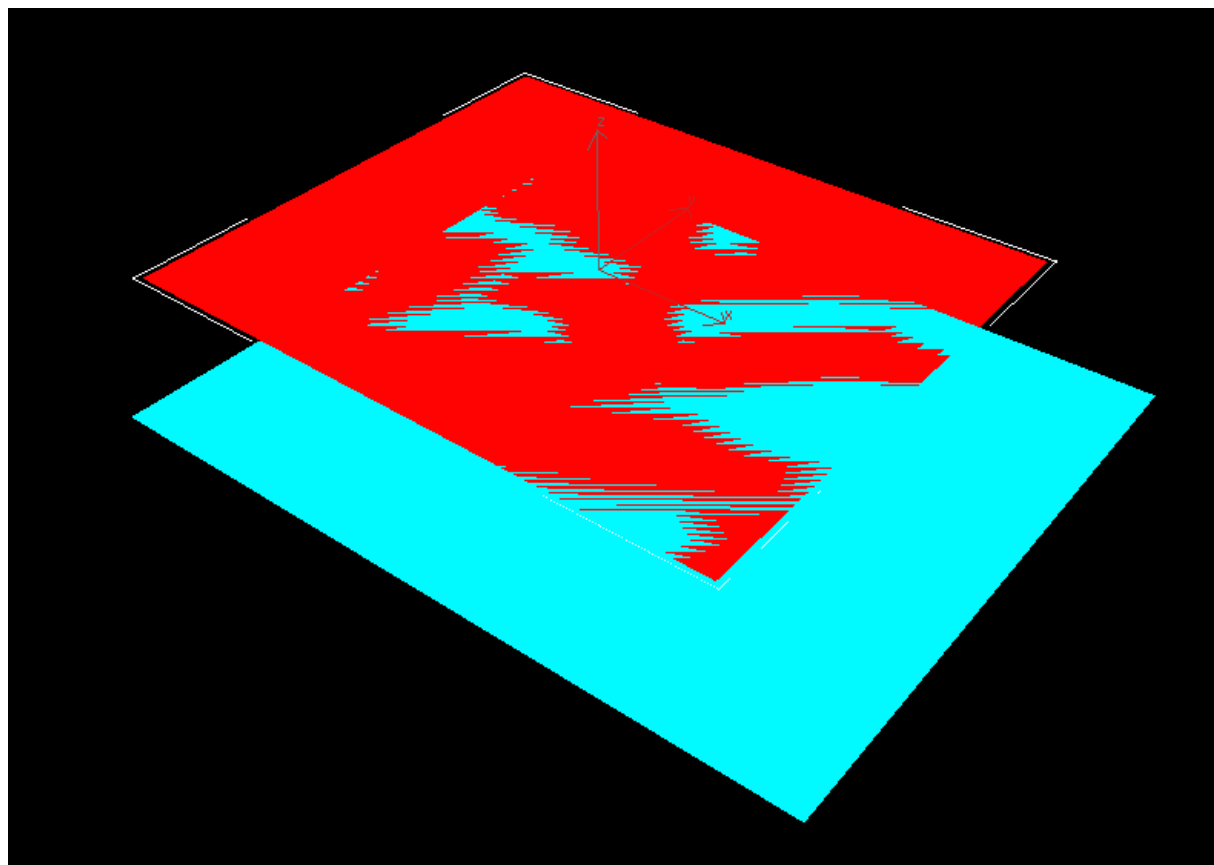
Rzutowanie

Case study:
modelowanie cienia

Cień

Z-fighting

Case study:
przekształcenie rzutowe
obrazów



Z-fighting. Przykład w blenderze

Rzutowanie

Case study:
modelowanie cienia

Cień

Z-fighting

Case study:
przekształcenie rzutowe
obrazów

Przykład w blenderze

Rzutowanie

Case study:
modelowanie cienia

Case study:
przekształcenie rzutowe
obrazów

Transformacja
perspektywiczna

Cztery punkty

Case study: przekształcenie rzutowe obrazów

Transformacja perspektywiczna

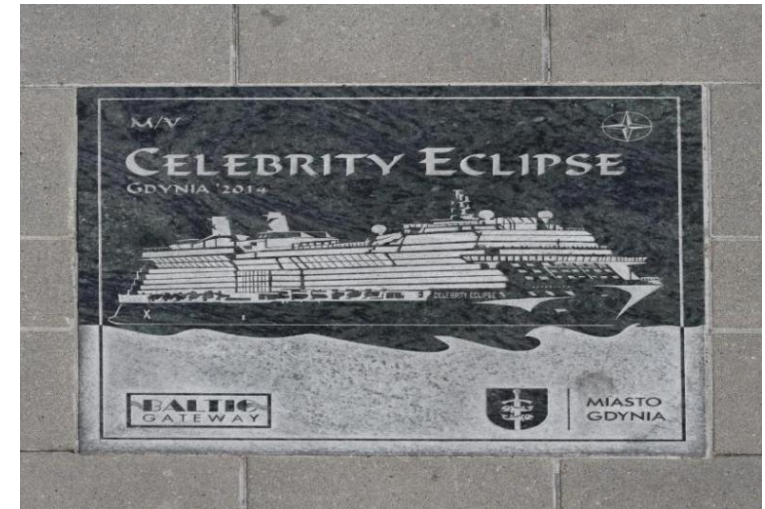
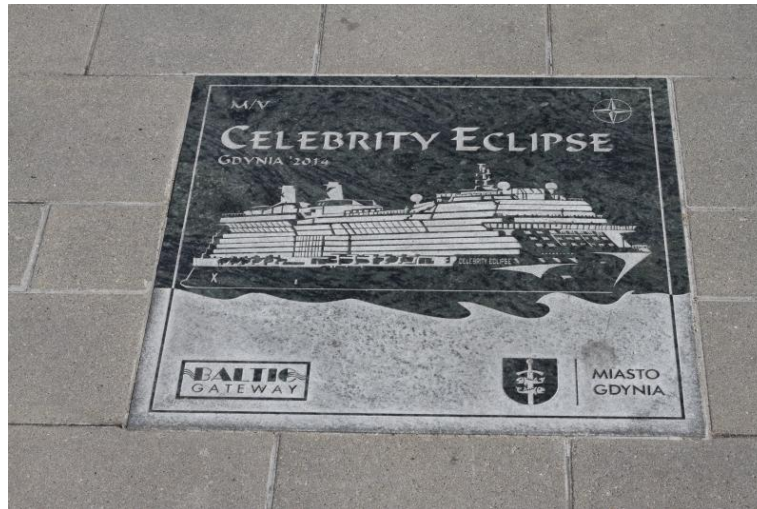
Rzutowanie

Case study:
modelowanie cienia

Case study:
przekształcenie rzutowe
obrazów

Transformacja
perspektywiczna

Cztery punkty



$$\blacksquare A = \begin{pmatrix} a_{11} & a_{12} & a_{13} \\ a_{21} & a_{22} & a_{23} \\ a_{31} & a_{32} & a_{33} \end{pmatrix}$$

□ zazwyczaj wymaga się $\det A \neq 0$.

■ czemu?

Transformacja po czterech punktach

Rzutowanie

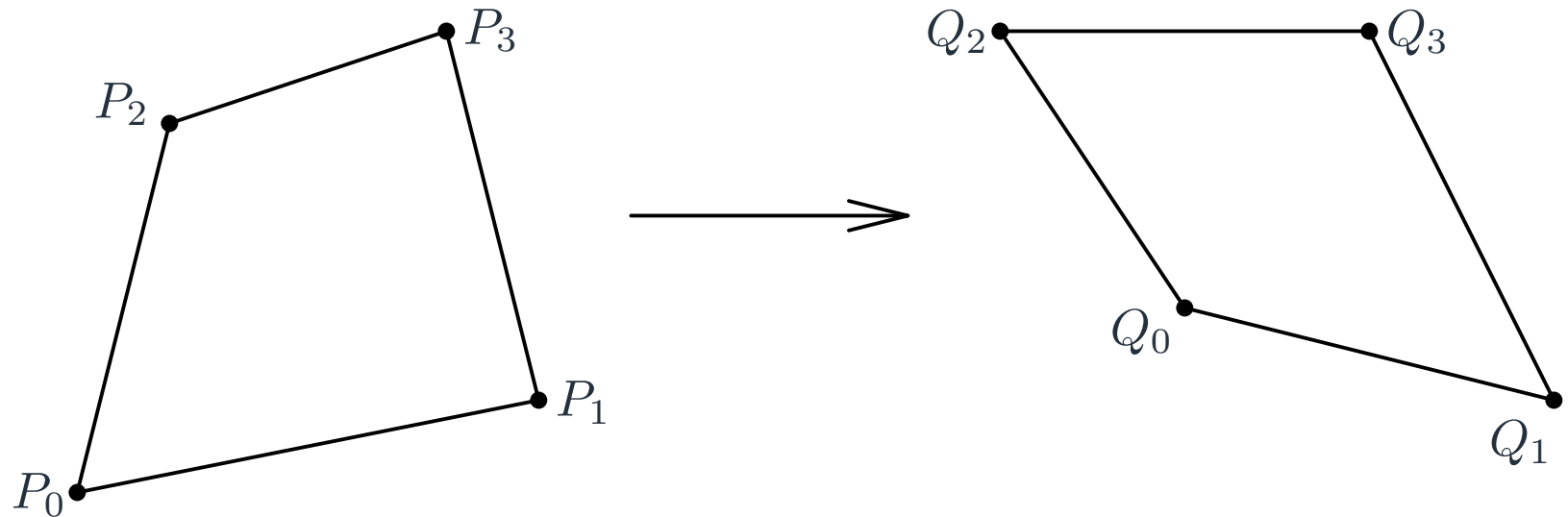
Case study:
modelowanie cienia

Case study:
przekształcenie rzutowe
obrazów

Transformacja
perspektywiczna

Cztery punkty

- Dane są dwie czwórki punktów na płaszczyźnie:
 $P = (P_0, P_1, P_2, P_3)$ oraz $Q = (Q_0, Q_1, Q_2, Q_3)$.
 $\square P_j = (x_j, y_j), Q_j = (s_j, t_j), j = 0, \dots, 3$.
- Znaleźć taką transformację perspektywiczną $A : \mathbb{R}^2 \rightarrow \mathbb{R}^2$, że
 $A(P_j) = Q_j, j = 0, \dots, 3$.



Rzutowanie

Case study:
modelowanie cienia

Case study:
przekształcenie rzutowe
obrazów

Transformacja
perspektywiczna

Cztery punkty

■ Rozwiązywanie jednorodnego układu równań liniowych

- ☐ 8 równań
- ☐ 9 zmiennych

Rzutowanie

Case study:
modelowanie cienia

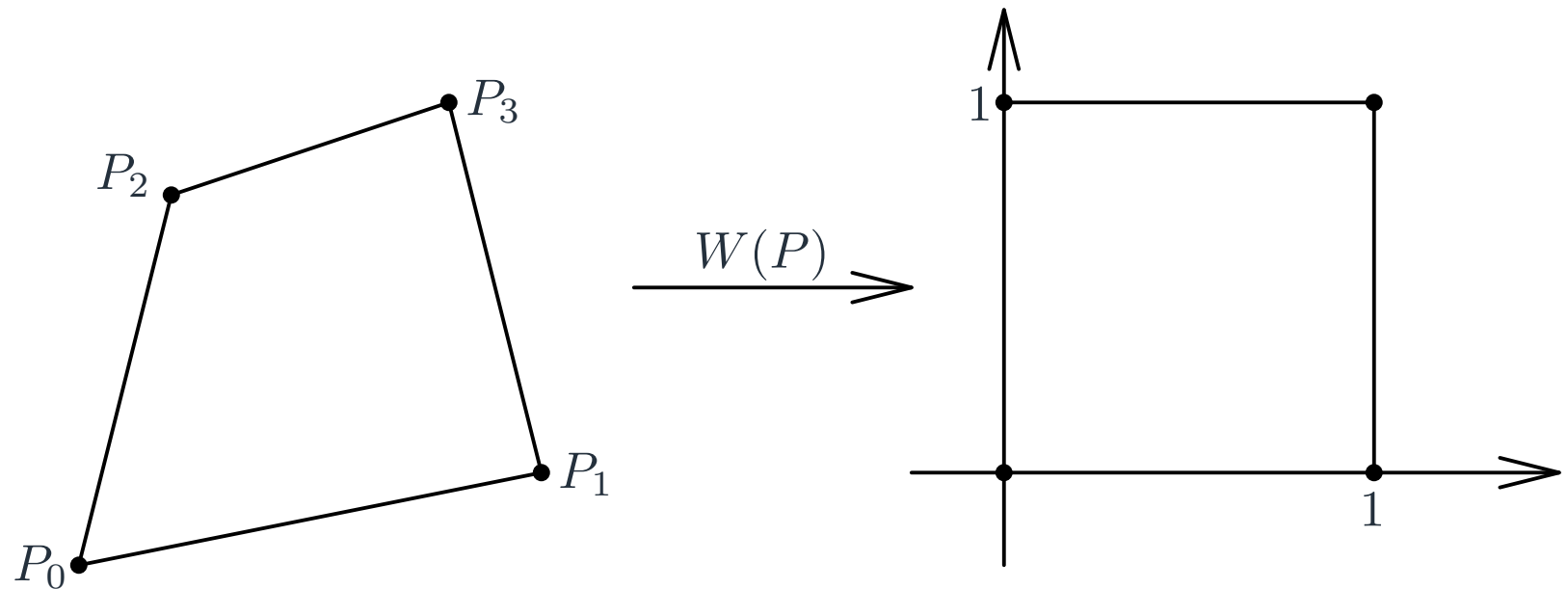
Case study:
przekształcenie rzutowe
obrazów

Transformacja
perspektywiczna

Cztery punkty

■ Przekształcenie pomocnicze $W(P) : \mathbb{R}^2 \rightarrow \mathbb{R}^2$

□ $A = (W(Q))^{-1}W(P)$



Rzutowanie

Case study:
modelowanie cienia

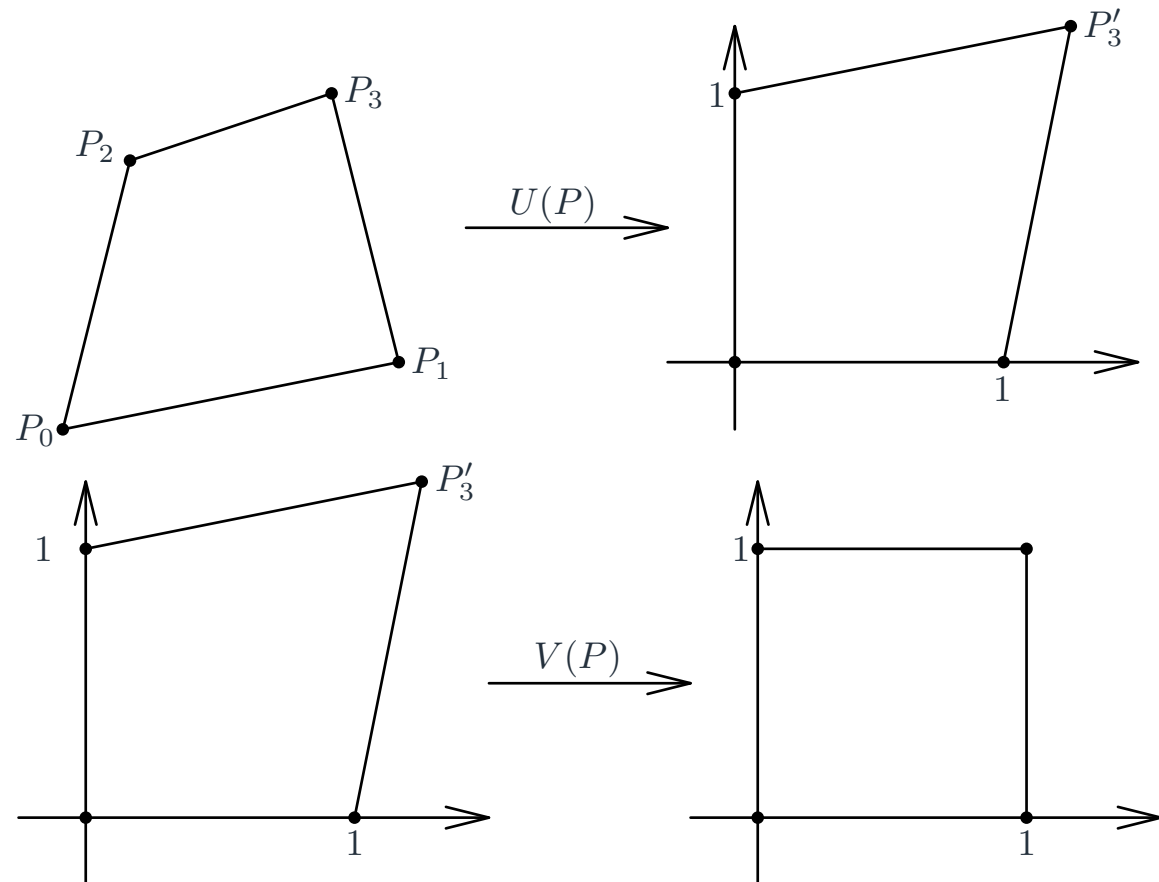
Case study:
przekształcenie rzutowe
obrazów

Transformacja
perspektywiczna

Cztery punkty

■ Rozkładamy W w iloczyn $W(P) = V(P)U(P)$, gdzie

- $U(P)$ będzie przekształceniem afinicznym,
- $V(P)$ — rzutowym.



Rzutowanie

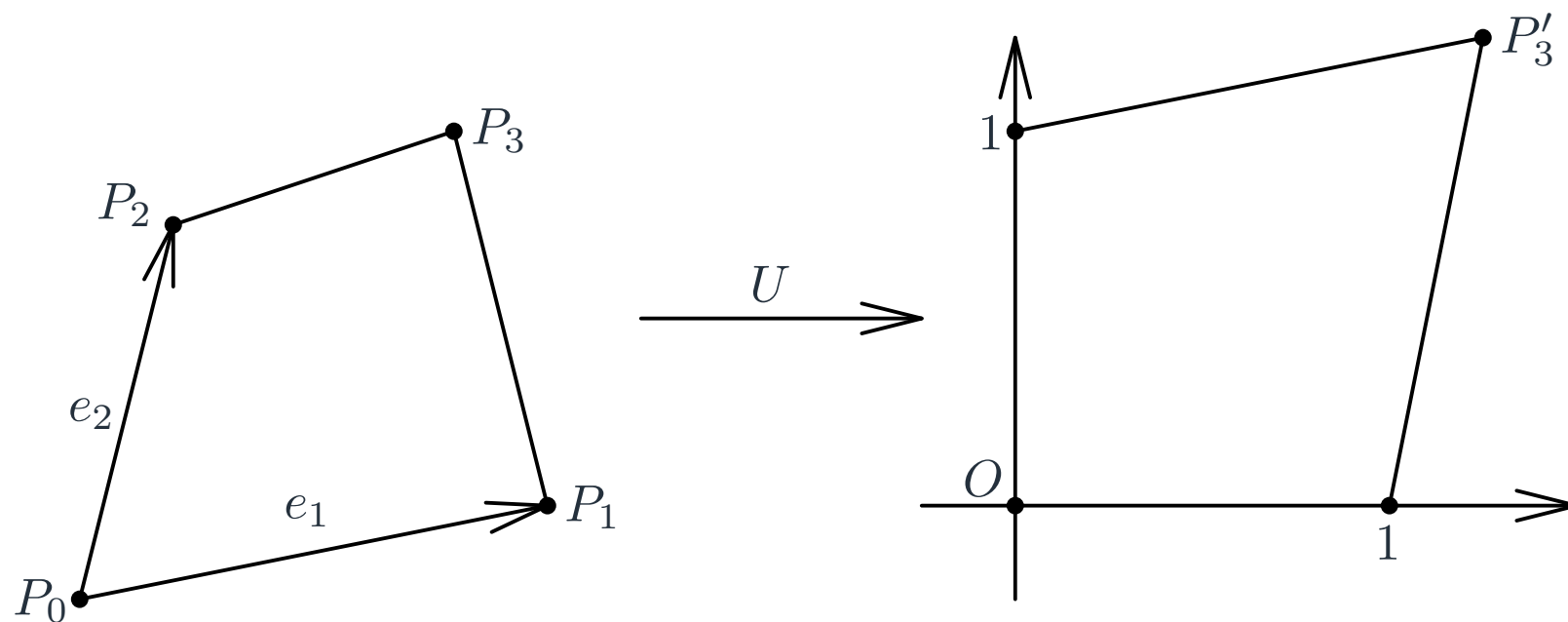
Case study:
modelowanie cienia

Case study:
przekształcenie rzutowe
obrazów

Transformacja
perspektywiczna

Cztery punkty

- Przekształcenie U to zamiana standardowego układu współrzędnych (O, i, j) na (P_0, e_1, e_2) .



Rzutowanie

Case study:
modelowanie cienia

Case study:
przekształcenie rzutowe
obrazów

Transformacja
perspektywiczna

Cztery punkty

- $(e_1 \ e_2) = (i \ j) M = (i \ j) \begin{pmatrix} dx_1 & dx_2 \\ dy_1 & dy_2 \end{pmatrix}$, gdzie
 - $dx_k = x_k - x_0, dy_k = y_k - y_0, k = 1, 2, 3.$
- $(i \ j) = (e_1 \ e_2) M^{-1} = (e_1 \ e_2) \cdot \frac{1}{\Delta} \begin{pmatrix} dy_2 & -dx_2 \\ -dy_1 & dx_1 \end{pmatrix}$, gdzie
 - $\Delta = \det M = dx_1 dy_2 - dy_1 dx_2.$
- W szczególności,

$$\mathbf{OP}_0 = (e_1 \ e_2) M^{-1} \begin{pmatrix} x_0 \\ y_0 \end{pmatrix} = (e_1 \ e_2) \begin{pmatrix} x'_0 \\ y'_0 \end{pmatrix}, \text{ gdzie}$$
 - $x'_0 = (x_0 dy_2 - y_0 dx_2) / \Delta,$
 - $y'_0 = (-x_0 dy_1 + y_0 dx_1) / \Delta.$
- Więc $U : \begin{pmatrix} x \\ y \end{pmatrix} \mapsto M^{-1} \begin{pmatrix} x - x_0 \\ y - y_0 \end{pmatrix} = M^{-1} \begin{pmatrix} x \\ y \end{pmatrix} - \begin{pmatrix} x'_0 \\ y'_0 \end{pmatrix}$

Rzutowanie

Case study:
modelowanie cienia

Case study:
przekształcenie rzutowe
obrazów

Transformacja
perspektywiczna

Cztery punkty

$$\blacksquare U = \begin{pmatrix} \frac{dy_2}{\Delta} & -\frac{dx_2}{\Delta} & \frac{-x_0dy_2+y_0dx_2}{\Delta} \\ -\frac{dy_1}{\Delta} & \frac{dx_1}{\Delta} & \frac{x_0dy_1-y_0dx_1}{\Delta} \\ 0 & 0 & 1 \end{pmatrix}.$$

$$\square \text{ W szczególności, } P_3 \mapsto \begin{pmatrix} x'_3 \\ y'_3 \end{pmatrix} = \frac{1}{\Delta} \begin{pmatrix} dx_3dy_2 - dy_3dx_2 \\ -dx_3dy_1 + dy_3dx_1 \end{pmatrix}$$

$$\blacksquare \text{ Przekształcenie odwrotne } U^{-1} = \begin{pmatrix} dx_1 & dx_2 & +x_0 \\ dy_1 & dy_2 & +y_0 \\ 0 & 0 & 1 \end{pmatrix}$$

$$\blacksquare \text{ Stosowanie współrzędnych jednorodnych pozwala zamienić } U \text{ na prostszą macierz: } \begin{pmatrix} dy_2 & -dx_2 & -x_0dy_2 + y_0dx_2 \\ -dy_1 & dx_1 & x_0dy_1 - y_0dx_1 \\ 0 & 0 & \Delta \end{pmatrix}.$$

Rzutowanie

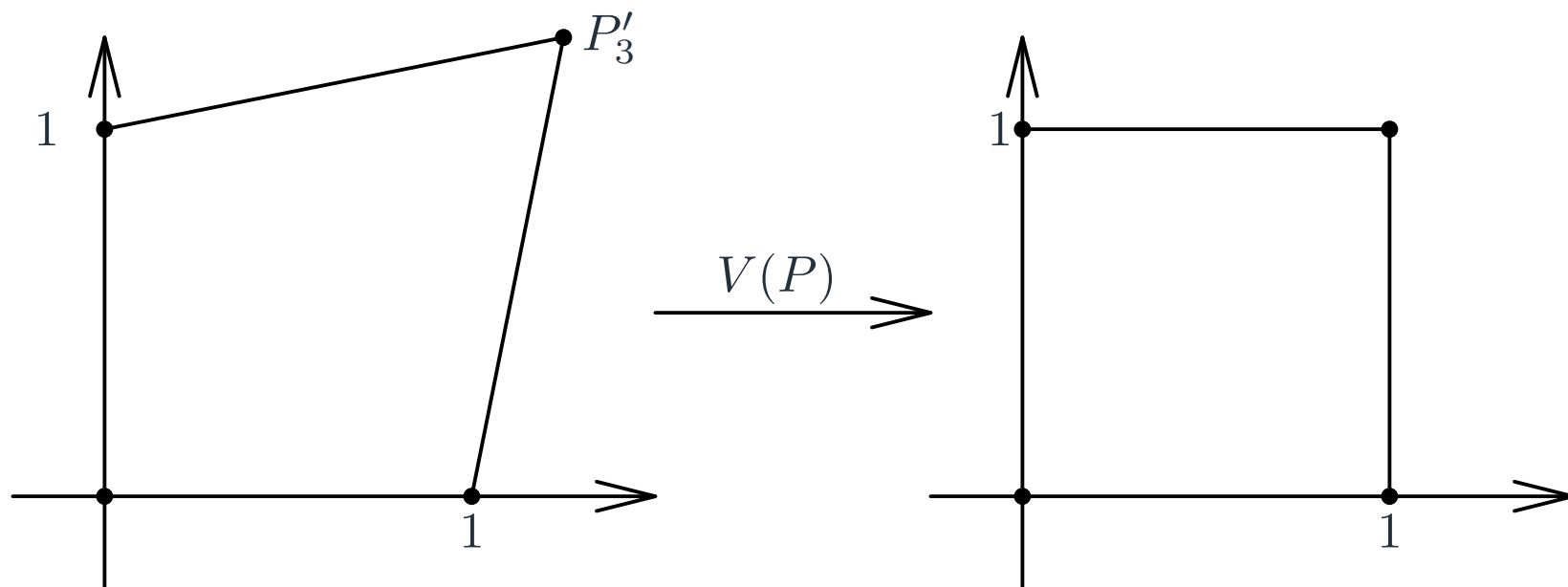
Case study:
modelowanie cienia

Case study:
przekształcenie rzutowe
obrazów

Transformacja
perspektywiczna

Cztery punkty

■ $P'_3 = (x'_3, y'_3)$, określone na slajdzie 28



Rzutowanie

Case study:
modelowanie cienia

Case study:
przekształcenie rzutowe
obrazów

Transformacja
perspektywiczna

Cztery punkty

■ $(0, 0) \mapsto (0, 0):$

□ $a_{13} = a_{23} = 0, a_{33} = 1.$

■ $(1, 0) \mapsto (1, 0):$

□ $a_{11} = \lambda_1, a_{21} = 0, a_{31} + 1 = \lambda_1.$

■ $a_{31} = a_{11} - 1.$

■ $(1, 0) \mapsto (1, 0):$

□ $a_{12} = 0, a_{22} = \lambda_2, a_{32} + 1 = \lambda_2.$

■ $a_{32} = a_{22} - 1.$

■ $P'_3 \mapsto (1, 1)$

□ $a_{11}x'_3 = \lambda, \quad a_{22}y'_3 = \lambda, \quad -x'_3 - y'_3 + 1 = -\lambda.$

Rzutowanie

Case study:
modelowanie cienia

Case study:
przekształcenie rzutowe
obrazów

Transformacja
perspektywiczna

Cztery punkty

■ Rozwiązanie równań:

$$\begin{pmatrix} \frac{x'_3 + y'_3 - 1}{x'_3} & 0 & 0 \\ 0 & \frac{x'_3 + y'_3 - 1}{y'_3} & 0 \\ \frac{y'_3 - 1}{x'_3} & \frac{x'_3 - 1}{y'_3} & 1 \end{pmatrix}$$

■ Inna postać macierzy V :

$$\begin{pmatrix} \begin{vmatrix} x_2 - x_3 & y_2 - y_3 \\ x_1 - x_3 & y_1 - y_3 \end{vmatrix} & 0 & 0 \\ 0 & \begin{vmatrix} x_2 - x_3 & y_2 - y_3 \\ x_1 - x_3 & y_1 - y_3 \end{vmatrix} & 0 \\ \begin{vmatrix} x_2 - x_3 & y_2 - y_3 \\ x_1 - x_0 & y_1 - y_0 \\ x_3 - x_0 & y_3 - y_0 \end{vmatrix} & \begin{vmatrix} x_2 - x_0 & y_2 - y_0 \\ x_1 - x_3 & y_1 - y_3 \\ x_3 - x_0 & y_3 - y_0 \end{vmatrix} & 1 \end{pmatrix}$$

Rzutowanie

Case study:
modelowanie cienia

Case study:
przekształcenie rzutowe
obrazów

Transformacja
perspektywiczna

Cztery punkty

■ $V^t = TS$, gdzie S jest skalowaniem, a T — przesunięciem równoległym

■ $(V^t)^{-1} = S^{-1}T^{-1}$

■ $V^{-1} = ((V^t)^{-1})^t = (S^{-1}T^{-1})^t$

■ $V^{-1} = \begin{pmatrix} \frac{x'_3}{x'_3+y'_3-1} & 0 & 0 \\ 0 & \frac{y'_3}{x'_3+y'_3-1} & 0 \\ \frac{1-y'_3}{x'_3+y'_3-1} & \frac{1-x'_3}{x'_3+y'_3-1} & 1 \end{pmatrix} \sim \begin{pmatrix} x'_3 & 0 & 0 \\ 0 & y'_3 & 0 \\ 1-y'_3 & 1-x'_3 & x'_3+y'_3-1 \end{pmatrix}$

Algorytm obliczenia przekształcenia

Rzutowanie

Case study:
modelowanie cienia

Case study:
przekształcenie rzutowe
obrazów

Transformacja
perspektywiczna

Cztery punkty

■ $P_j = (x_j, y_j), Q_j = (s_j, t_j), j = 0, \dots, 3$

1. $dx_j = x_j - x_0, dy_j = y_j - y_0, j = 1, 2, 3$

2. $\Delta_p = dx_1 dy_2 - dy_1 dx_2$

3. $x'_3 = \frac{dx_3 dy_2 - dy_3 dx_2}{\Delta_p}, y'_3 = \frac{-dx_3 dy_1 + dy_3 dx_1}{\Delta_p}$

4. $U(P) = \begin{pmatrix} dy_2 & -dx_2 & -x_0 dy_2 + y_0 dx_2 \\ -dy_1 & dx_1 & x_0 dy_1 - y_0 dx_1 \\ 0 & 0 & \Delta_p \end{pmatrix}$

5. $V(P) = \begin{pmatrix} \frac{x'_3 + y'_3 - 1}{x'_3} & 0 & 0 \\ 0 & \frac{x'_3 + y'_3 - 1}{y'_3} & 0 \\ \frac{y'_3 - 1}{x'_3} & \frac{x'_3 - 1}{y'_3} & 1 \end{pmatrix}$

Algorytm obliczenia przekształcenia, cd

Rzutowanie

Case study:
modelowanie cienia

Case study:
przekształcenie rzutowe
obrazów

Transformacja
perspektywiczna

Cztery punkty

$$6. \quad ds_j = s_j - s_0, dt_j = t_j - t_0, j = 1, 2, 3$$

$$7. \quad \Delta_q = ds_1 dt_2 - dt_1 ds_2$$

$$8. \quad s'_3 = \frac{ds_3 dt_2 - dt_3 ds_2}{\Delta_q}, t'_3 = \frac{-ds_3 dt_1 + dt_3 ds_1}{\Delta_q}$$

$$9. \quad V^{-1}(Q) = \begin{pmatrix} s'_3 & 0 & 0 \\ 0 & t'_3 & 0 \\ 1 - t'_3 & 1 - s'_3 & t'_3 + s'_3 - 1 \end{pmatrix}$$

$$10. \quad U^{-1}(Q) = \begin{pmatrix} ds_1 & ds_2 & +s_0 \\ dt_1 & dt_2 & +t_0 \\ 0 & 0 & 1 \end{pmatrix}$$

$$11. \quad A = U^{-1}(Q)V^{-1}(Q)V(P)U(P)$$

$$12. \quad \begin{pmatrix} x \\ y \\ 1 \end{pmatrix} \mapsto \begin{pmatrix} \lambda s \\ \lambda t \\ \lambda \end{pmatrix} = A \begin{pmatrix} x \\ y \\ 1 \end{pmatrix} \mapsto \begin{pmatrix} s \\ t \end{pmatrix}$$

Rzutowanie

Case study:
modelowanie cienia

Case study:
przekształcenie rzutowe
obrazów

Transformacja
perspektywiczna

Cztery punkty

- Jeżeli punkty P tworzą kwadrat $[0, 1] \times [0, 1]$, to
 - ☐ $U(P) = V(P) = I$
 - ☐ $A = U^{-1}(Q)V^{-1}(Q)$
- Jeżeli punkty Q tworzą kwadrat $[0, 1] \times [0, 1]$, to
 - ☐ $U^{-1}(Q) = V^{-1}(Q) = I$
 - ☐ $A = V(P)U(P)$